

**ОБЪЕДИНЕННЫЙ  
ИНСТИТУТ  
ЯДЕРНЫХ  
ИССЛЕДОВАНИЙ  
ДУБНА**

Ю 233

P17-88-269

**В.И.Юкалов**

**МАГНИТНЫЕ АНОМАЛИИ  
ПРИ ЭФФЕКТЕ МЁССБАУЭРА**

Направлено в Оргкомитет Международной  
конференции по физике переходных  
металлов, Киев, май 1988 г.

**1988**

В ряде переходных металлов и в некоторых их соединениях, например Ni, NiO, MnO,  $\text{Co}_{1-x}\text{Pd}_x$ ,  $\text{Mn}_2\text{Sn}$ ,  $\text{FeSn}_2$ ,  $\text{Y}_3\text{Fe}_5\text{O}_{12}$ ,  $\text{Tb}_3\text{Fe}_5\text{O}_{12}$ , ниже температуры перехода в магнитное состояние вместе с появлением намагнитченности наблюдалось аномальное увеличение площади под мессбауровским спектром, составляющее  $20 \div 50\%$  от площади спектра при парамагнитном состоянии металла. Обзор соответствующих экспериментов можно найти в книге<sup>1/</sup>. Увеличение площади спектра связывалось со значительным изменением фононных характеристик при возникновении магнитного порядка, в частности, с сильным увеличением температуры Дебая и соответствующим уменьшением среднего квадратичного отклонения. Однако такая интерпретация противоречит другим экспериментам, в которых фононные характеристики измеряются непосредственно — с помощью рассеяния нейтронов, измерения скорости звука, исследования упругих и тепловых величин. Во всех этих экспериментах при переходе из парамагнитного в магнитное состояние никаких аномалий решеточных свойств не наблюдается. Не было обнаружено никаких магнитных аномалий и при иной постановке самого мессбауровского эксперимента, в так называемой геометрии источника, когда внутрь исследуемого вещества внедрялся радиоактивный источник, а поглощающие мессбауровские ядра находились вне вещества. Увеличение площади спектра наблюдалось только при экспериментах в геометрии поглотителя, когда мессбауровские ядра содержались в исследуемом веществе.

Для выяснения причины этого противоречия был проведен расчет величин, входящих в площадь спектра в геометрии поглотителя:

$$S_{\text{abs}} \sim \sigma_{\text{abs}} f_M$$

здесь  $\sigma_{\text{abs}}$  — сечение поглощения мессбауровского ядра, интенсивность мессбауровского спектра

$$f_M = \exp(-2W),$$

где фактор

$$2W = \frac{k_0^2}{6mN} \sum_{\mathbf{k}\mathbf{s}} \frac{1}{\omega_{\mathbf{k}\mathbf{s}}} \langle (b_{\mathbf{k}\mathbf{s}} + b_{-\mathbf{k}\mathbf{s}}^+) (b_{-\mathbf{k}\mathbf{s}} + b_{\mathbf{k}\mathbf{s}}^+) \rangle;$$

все обозначения достаточно стандартны, поэтому для краткости не объясняются. Полный гамильтониан системы состоит из двух слагаемых:

$$H = H_{\text{lat}} + H_{\text{rad}},$$

первое содержит решеточные переменные, фононы и спины, второе — внутренние степени свободы излучающих ядер и фотоны. Решеточный гамильтониан имеет обычный вид:

$$H_{\text{lat}} = \sum_i \frac{\vec{p}_i^2}{2m} + \frac{1}{2} \sum_{ij} U(\vec{R}_i - \vec{R}_j) - \sum_{ij} I(\vec{R}_i - \vec{R}_j) \vec{S}_i \vec{S}_j.$$

Взаимодействия в нем разлагаются по отклонениям и вводятся фононы. В дальнейшем используются сокращенные обозначения:

$$S_{ij} \equiv \vec{S}_i \vec{S}_j, \quad \vec{r}_{ij} \equiv \vec{r}_i - \vec{r}_j,$$

$\vec{r}_i$  — координата узла,

$$\vec{R}_i - \vec{R}_j = \vec{r}_{ij} + \vec{u}_{ij}.$$

Для вычисления фактора W проделывалась следующая процедура. Применялось операторное преобразование

$$b_{\mathbf{k}\mathbf{s}} b_{\mathbf{k}'\mathbf{s}'} S_{ij} = A_1 + A_2 b_{\mathbf{k}\mathbf{s}} b_{\mathbf{k}'\mathbf{s}'} + A_3 S_{ij} + A_4 b_{\mathbf{k}\mathbf{s}} S_{ij} + A_5 b_{\mathbf{k}'\mathbf{s}'} S_{ij},$$

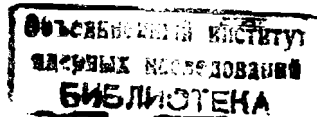
и аналогичное для конструкции  $b_{\mathbf{k}\mathbf{s}}^+ b_{\mathbf{k}'\mathbf{s}'} S_{ij}$ . Коэффициенты  $A_1, A_2, \dots, A_{10}$  находились из вариационного принципа Гиббса — Боголюбова. Далее привлекалось каноническое преобразование Вакса — Ларкина, разделяющее фононные и спиновые переменные:

$$b_{\mathbf{k}\mathbf{s}} \rightarrow b_{\mathbf{k}\mathbf{s}} + \sum_{ij} B_{ij}^{\mathbf{k}\mathbf{s}} S_{ij}, \quad B_{ij}^{\mathbf{k}\mathbf{s}} = \sum_{\mu} \bar{I}_{ij}^{\mu} \frac{e_{\mathbf{k}\mathbf{s}}^{\mu} e^{i\vec{k}\vec{r}_{ij}}}{\sqrt{2mN\omega_{\mathbf{k}\mathbf{s}}}},$$

$$\bar{I}_{ij}^{\mu} \equiv I_{ij}^{\mu} + \sum_{\mathbf{k}\mathbf{s}} \sum_{\nu} I_{ij}^{\mu\nu} \frac{e_{\mathbf{k}\mathbf{s}}^{\nu} e^{i\vec{k}\vec{r}_{ij}}}{\sqrt{2mN\omega_{\mathbf{k}\mathbf{s}}}} \langle (b_{\mathbf{k}\mathbf{s}} + b_{-\mathbf{k}\mathbf{s}}^+) \rangle,$$

$$I_{ij}^{\mu} \equiv \partial I(\vec{r}_{ij}) / \partial r_{ij}^{\mu}, \quad I_{ij}^{\mu\nu} \equiv \partial^2 I(\vec{r}_{ij}) / \partial r_{ij}^{\mu} \partial r_{ij}^{\nu}.$$

Фононный спектр определяется уравнением



$$\frac{1}{mN} \sum_{ij} \sum_{\mu} \Phi_{ij}^{\mu\nu} e^{ik\vec{r}_{ij}} e_{ks}^{\mu} = \omega_{ks}^{\nu} e_{ks}^{\nu}$$

$$\Phi_{ij}^{\mu\nu} = \frac{1}{2} U_{ij}^{\mu\nu} - I_{ij}^{\mu\nu} \langle S_{ij} \rangle, \quad U_{ij}^{\mu\nu} \equiv \partial^2 U(\vec{r}_{ij}) / \partial r_{ij}^{\mu} \partial r_{ij}^{\nu}$$

В результате решеточный гамильтониан представляется в виде суммы

$$H_{lat} = H_{stat} + H_{phon} + H_{spin}$$

в которой

$$H_{stat} = \frac{1}{2} NU + \sum_{ij} \sum_{\mu\nu} I_{ij}^{\mu\nu} \left( \frac{1}{2} \langle u_{ij}^{\mu} u_{ij}^{\nu} \rangle \langle S_{ij} \rangle + \langle u_{ij}^{\mu} \rangle \langle u_{ij}^{\nu} S_{ij} \rangle \right),$$

$$H_{phon} = \sum_{ks} \omega_{ks} (b_{ks}^+ b_{ks} + \frac{1}{2}), \quad U \equiv \frac{1}{N} \sum_{ij} U(\vec{r}_{ij}),$$

$$H_{spin} = - \sum_{ij} \bar{I}_{ij} S_{ij} - \sum_{ij} \sum_{fg} F_{ijfg} S_{ij} S_{fg}$$

$$\bar{I}_{ij} = I(\vec{r}_{ij}) + \frac{1}{2} \sum_{\mu\nu} I_{ij}^{\mu\nu} \langle u_{ij}^{\mu} u_{ij}^{\nu} \rangle, \quad F_{ijfg} = \sum_{ks} \omega_{ks} (B_{ij}^{ks})^* B_{fg}^{ks}$$

Спиновые переменные рассматривались в приближении Тер-Хаара

$$\langle S_{ij} S_{fg} \rangle = \langle S_{ij} \rangle \langle S_{fg} \rangle.$$

Константы взаимодействия брались из независимых экспериментов. Расчет показал, что появление намагниченности приводит к изменению интенсивности спектра  $f_M$  примерно на 1%, что лежит за пределами точности эксперимента. Этот вывод согласуется с опытами в геометрии источника, где измеряемая площадь спектра  $S_{src} \sim f_M$ .

В сечении поглощения

$$\sigma_{abs} = 2\pi(2I_1 + 1)/k_0^2 (2I_0 + 1) (1 + a_{coh})$$

единственная величина, которая может зависеть от коллективных свойств системы, — это коэффициент внутренней конверсии  $a_{coh} = I_e/I_\gamma$ , в котором  $I_e$  — интенсивность испускания конверсионных электронов,  $I_\gamma$  — средняя за период интенсивность излучения  $\gamma$ -квантов,

$$I_\gamma = \frac{\omega}{2\pi} \int_0^{2\pi/\omega} I(t) dt, \quad I(t) = \frac{4\omega^4}{3c^3} \sum_{ij} f_{ij} \langle \vec{m}_i^+(t) \vec{m}_j(t) \rangle,$$

здесь  $f_{ij}$  — формфактор системы,  $\vec{m}_i(t)$  — оператор магнитного момента ядерного перехода M1. Разделяя в радиационном гамильтониане ядерные и фотонные переменные, имеем

$$H_{rad} = H_{nucl} + H_{phot}, \quad H_{phot} = \sum_{ks} \omega a_{ks}^+ a_{ks}$$

$$H_{nucl} = \frac{\omega_0}{2} \sum_i [1 + \sigma_i^z(t)] - \frac{1}{2} \sum_i [\vec{m}_i^+(t) \vec{H}_i(t) + \vec{H}_i^+(t) \vec{m}_i(t)] - \frac{1}{2} \sum_{i \neq j} [\vec{m}_i^+(t) \vec{H}_{ij}(t) + \vec{H}_{ij}^+(t) \vec{m}_i(t)],$$

где магнитное поле, действующее на каждое мессбауэровское ядро,

$$\vec{H}_i(t) = \vec{H}_i e^{-i\omega t} + \vec{H}_0$$

состоит из переменного поля внешнего радиоактивного источника и сверхтонкого поля  $\vec{H}_0$ :

$$H_0 \equiv |\vec{H}_0| = B_0 S(T), \quad B_0 \equiv -\frac{16\pi}{3} \mu_B n_0, \quad S(T) \equiv |\langle \vec{S}_i \rangle|,$$

$\vec{H}_{ij}$  — поле переизлучения<sup>/2/</sup>. Решая уравнения движения для средних от гейзенберговских операторов  $\sigma_i^z(t)$  и  $\vec{m}_i(t)$ , находим интенсивность

$$I_\gamma = I_{inc} + I_{coh}$$

в которой когерентная составляющая индуцируется сверхтонким полем<sup>/3/</sup>. В результате коэффициент внутренней конверсии принимает вид

$$a_{coh} = a_0 / (1 + C_{coh}), \quad \text{где } a_0 \equiv I_e / I_{inc}; \quad C_{coh} \equiv I_{coh} / I_{inc}$$

— коэффициент когерентности, равный

$$C_{coh} = N_n f \frac{3\Gamma^2 B_0^2}{2\omega^2 B^2} S^2(T), \quad f \equiv \frac{1}{N_n^2} \sum_{ij} f_{ij}, \quad B \equiv |\vec{H}_i|,$$

здесь  $N_n$  — число мессбауэровских ядер,  $\Gamma$  — естественная ширина. Делая оценки для характерных условий мессбауэровского эксперимента, когда  $\Gamma \sim 10^{-8}$  эВ,  $\omega \sim 10^4$  эВ,  $B \sim 10^{-4}$  Э,  $B_0 \sim 10^5$  Э,  $\lambda \sim 10^{-8}$  см, толщина образца  $L \sim 10^{-3}$  см, плотность мессбауэровских ядер  $\rho_n \sim$

В ряде переходных металлов и в некоторых их соединениях, например Ni, NiO, MnO,  $\text{Co}_{1-x}\text{Pd}_x$ ,  $\text{Mn}_2\text{Sn}$ ,  $\text{FeSn}_2$ ,  $\text{Y}_3\text{Fe}_5\text{O}_{12}$ ,  $\text{Tb}_3\text{Fe}_5\text{O}_{12}$ , ниже температуры перехода в магнитное состояние вместе с появлением намагниченности наблюдалось аномальное увеличение площади под мессбауровским спектром, составляющее  $20 \div 50\%$  от площади спектра при парамагнитном состоянии металла. Обзор соответствующих экспериментов можно найти в книге<sup>1/</sup>. Увеличение площади спектра связывалось со значительным изменением фононных характеристик при возникновении магнитного порядка, в частности, с сильным увеличением температуры Дебая и соответствующим уменьшением среднего квадратичного отклонения. Однако такая интерпретация противоречит другим экспериментам, в которых фононные характеристики измеряются непосредственно — с помощью рассеяния нейтронов, измерения скорости звука, исследования упругих и тепловых величин. Во всех этих экспериментах при переходе из парамагнитного в магнитное состояние никаких аномалий решеточных свойств не наблюдается. Не было обнаружено никаких магнитных аномалий и при иной постановке самого мессбауровского эксперимента, в так называемой геометрии источника, когда внутрь исследуемого вещества внедрялся радиоактивный источник, а поглощающие мессбауровские ядра находились вне вещества. Увеличение площади спектра наблюдалось только при экспериментах в геометрии поглотителя, когда мессбауровские ядра содержались в исследуемом веществе.

Для выяснения причины этого противоречия был проведен расчет величин, входящих в площадь спектра в геометрии поглотителя:

$$S_{\text{abs}} = \sigma_{\text{abs}} f_M$$

здесь  $\sigma_{\text{abs}}$  — сечение поглощения мессбауровского ядра, интенсивность мессбауровского спектра

$$f_M = \exp(-2W),$$

где фактор

$$2W = \frac{k_0^2}{6mN} \sum_{\mathbf{k}\mathbf{s}} \frac{1}{\omega_{\mathbf{k}\mathbf{s}}} \langle (b_{\mathbf{k}\mathbf{s}} + b_{-\mathbf{k}\mathbf{s}}^+) (b_{-\mathbf{k}\mathbf{s}} + b_{\mathbf{k}\mathbf{s}}^+) \rangle;$$

все обозначения достаточно стандартны, поэтому для краткости не объясняются. Полный гамильтониан системы состоит из двух слагаемых:

$$H = H_{\text{lat}} + H_{\text{rad}}$$

первое содержит решеточные переменные, фононы и спины, второе — внутренние степени свободы излучающих ядер и фотоны. Решеточный гамильтониан имеет обычный вид:

$$H_{\text{lat}} = \sum_i \frac{\vec{p}_i^2}{2m} + \frac{1}{2} \sum_{ij} U(\vec{R}_i - \vec{R}_j) - \sum_{ij} I(\vec{R}_i - \vec{R}_j) \vec{S}_i \vec{S}_j.$$

Взаимодействия в нем разлагаются по отклонениям и вводятся фононы. В дальнейшем используются сокращенные обозначения:

$$S_{ij} \equiv \vec{S}_i \vec{S}_j, \quad \vec{r}_{ij} \equiv \vec{r}_i - \vec{r}_j,$$

$\vec{r}_i$  — координата узла,

$$\vec{R}_i - \vec{R}_j = \vec{r}_{ij} + \vec{u}_{ij}.$$

Для вычисления фактора W предельвалась следующая процедура. Применялось операторное преобразование

$$b_{\mathbf{k}\mathbf{s}} b_{\mathbf{k}'\mathbf{s}'} S_{ij} = A_1 + A_2 b_{\mathbf{k}\mathbf{s}} b_{\mathbf{k}'\mathbf{s}'} + A_3 S_{ij} + A_4 b_{\mathbf{k}\mathbf{s}} S_{ij} + A_5 b_{\mathbf{k}'\mathbf{s}'} S_{ij},$$

и аналогичное для конструкции  $b_{\mathbf{k}\mathbf{s}}^+ b_{\mathbf{k}'\mathbf{s}'}^+ S_{ij}$ . Коэффициенты  $A_1, A_2, \dots, A_{10}$  находились из вариационного принципа Гиббса — Боголюбова. Далее привлекалось каноническое преобразование Вакса — Ларкина, разделяющее фононные и спиновые переменные:

$$b_{\mathbf{k}\mathbf{s}} \rightarrow b_{\mathbf{k}\mathbf{s}} + \sum_{ij} B_{ij}^{\mathbf{k}\mathbf{s}} S_{ij}, \quad B_{ij}^{\mathbf{k}\mathbf{s}} = \sum_{\mu} \bar{I}_{ij}^{\mu} \frac{e_{\mathbf{k}\mathbf{s}}^{\mu} e^{i\vec{k}\vec{r}_{ij}}}{\sqrt{2mN\omega_{\mathbf{k}\mathbf{s}}}},$$

$$\bar{I}_{ij}^{\mu} \equiv I_{ij}^{\mu} + \sum_{\mathbf{k}\mathbf{s}} \sum_{\nu} I_{ij}^{\mu\nu} \frac{e_{\mathbf{k}\mathbf{s}}^{\nu} e^{i\vec{k}\vec{r}_{ij}}}{\sqrt{2mN\omega_{\mathbf{k}\mathbf{s}}}} \langle b_{\mathbf{k}\mathbf{s}} \rangle + \langle b_{-\mathbf{k}\mathbf{s}}^+ \rangle,$$

$$I_{ij}^{\mu} \equiv \partial I(\vec{r}_{ij}) / \partial r_{ij}^{\mu}, \quad I_{ij}^{\mu\nu} \equiv \partial^2 I(\vec{r}_{ij}) / \partial r_{ij}^{\mu} \partial r_{ij}^{\nu}.$$

Фононный спектр определяется уравнением

$\sim 10^{21} \text{ см}^{-3}$ ,  $N \sim \rho_n \ell_{\text{ext}}^2 L \sim 10^{16}$ , длина экстинкции  $\ell_{\text{ext}} \sim 10^{-1} \text{ см}$ ,  $f \sim \lambda^2 / L^2 \sim 10^{-10}$ , получаем  $C_{\text{coh}} \sim 1$ . Следовательно, появление когерентного излучения, индуцированного сверхтонким полем, уменьшает  $\alpha_{\text{coh}}$ , что приводит к увеличению сечения поглощения  $\sigma_{\text{abs}}$ , вследствие чего увеличивается площадь спектра  $S_{\text{abs}}$ , как это и наблюдалось в экспериментах.

#### ЛИТЕРАТУРА

1. Николаев В.И., Русаков В.С. – Мессбауэровские исследования ферритов. М.: изд-во МГУ, 1985.
2. Емельянов В.И., Юкалов В.И. – *Опт. спектр.*, 1986, 60, с.634.
3. Юкалов В.И. ОИЯИ, P17-88-14, Дубна, 1988.

Рукопись поступила в издательский отдел  
22 апреля 1988 года.

Юкалов В.И.

P17-88-269

#### Магнитные аномалии при эффекте Мёссбауэра

Предложено объяснение аномального увеличения площади мессбауэровского спектра ниже температуры перехода из парамагнитного в магнитное состояние. Показано, что это увеличение не связано с изменением фононных характеристик ниже температуры перехода, как это считалось ранее. Выяснено, что причиной таких магнитных аномалий является возникновение индуцированного сверхтонким полем когерентного гамма-излучения, в результате чего уменьшается коэффициент внутренней конверсии, увеличивается сечение поглощения, а также площадь мессбауэровского спектра.

Работа выполнена в Лаборатории теоретической физики ОИЯИ.

Препринт Объединенного института ядерных исследований. Дубна 1988

#### Перевод автора

Yukalov V.I.

P17-88-269

#### Magnetic Anomalies under Mössbauer Effect

An explanation is suggested for the anomalous increase of the Mössbauer-spectrum area below a transition temperature from the paramagnetic state. It is shown that this increase is not connected with a change in phonon characteristic below the transition temperature, as has been thought earlier. It is cleared up that the cause of such magnetic anomalies is the appearance of a hyperfine-field-induced coherent gamma radiation, resulting in the dimmishing of the internal conversion coefficient and, as a consequence, in the increase of the absorption section and the Mössbauer-spectrum area.

The investigation has been performed at the Laboratory of Theoretical Physics, JINR.

Preprint of the Joint Institute for Nuclear Research. Dubna 1988